

Fig. 1

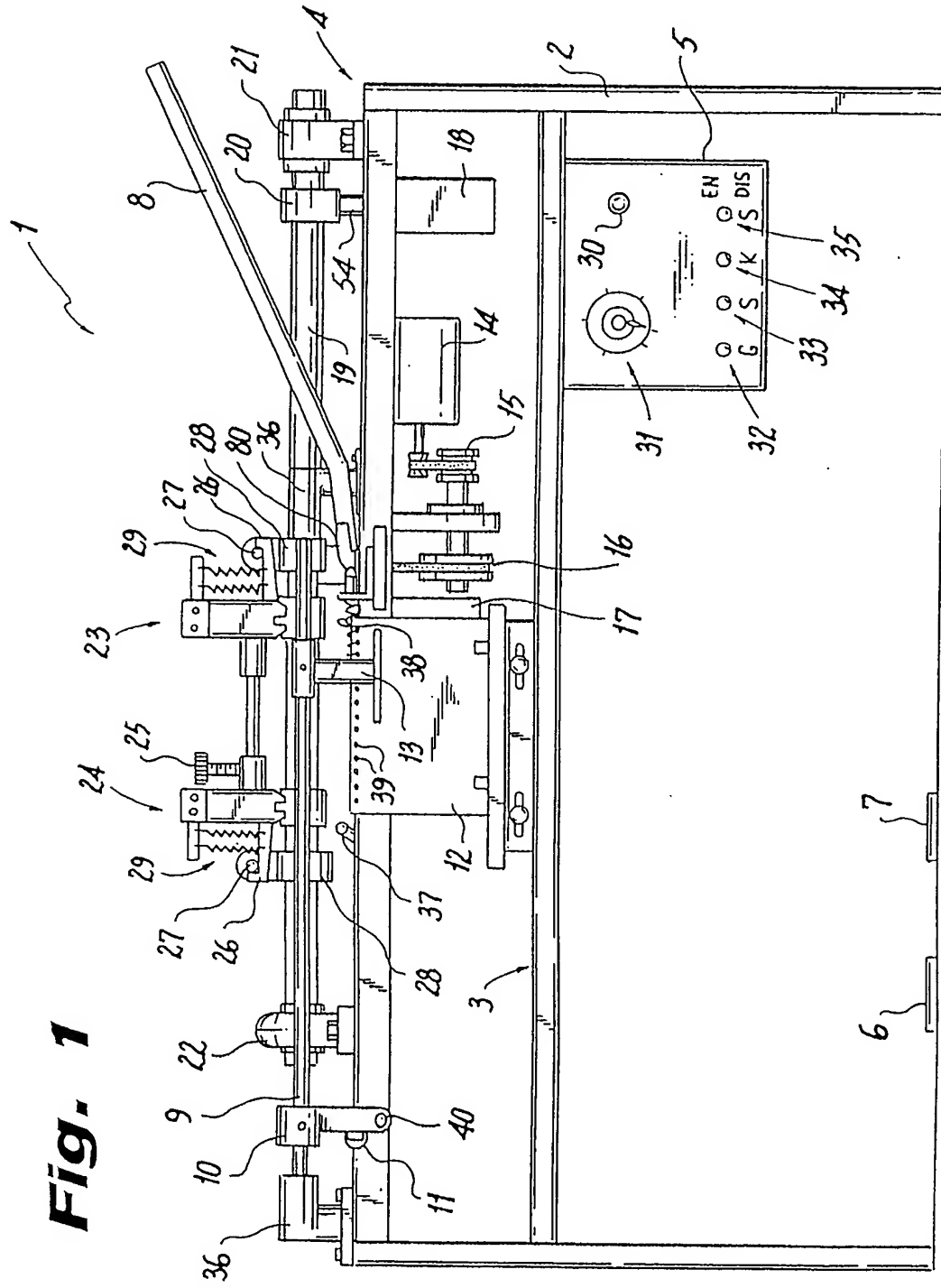
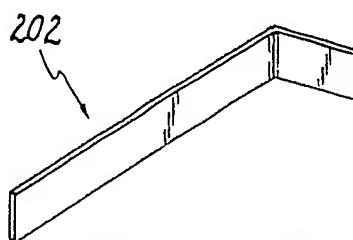
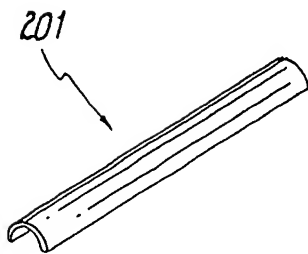
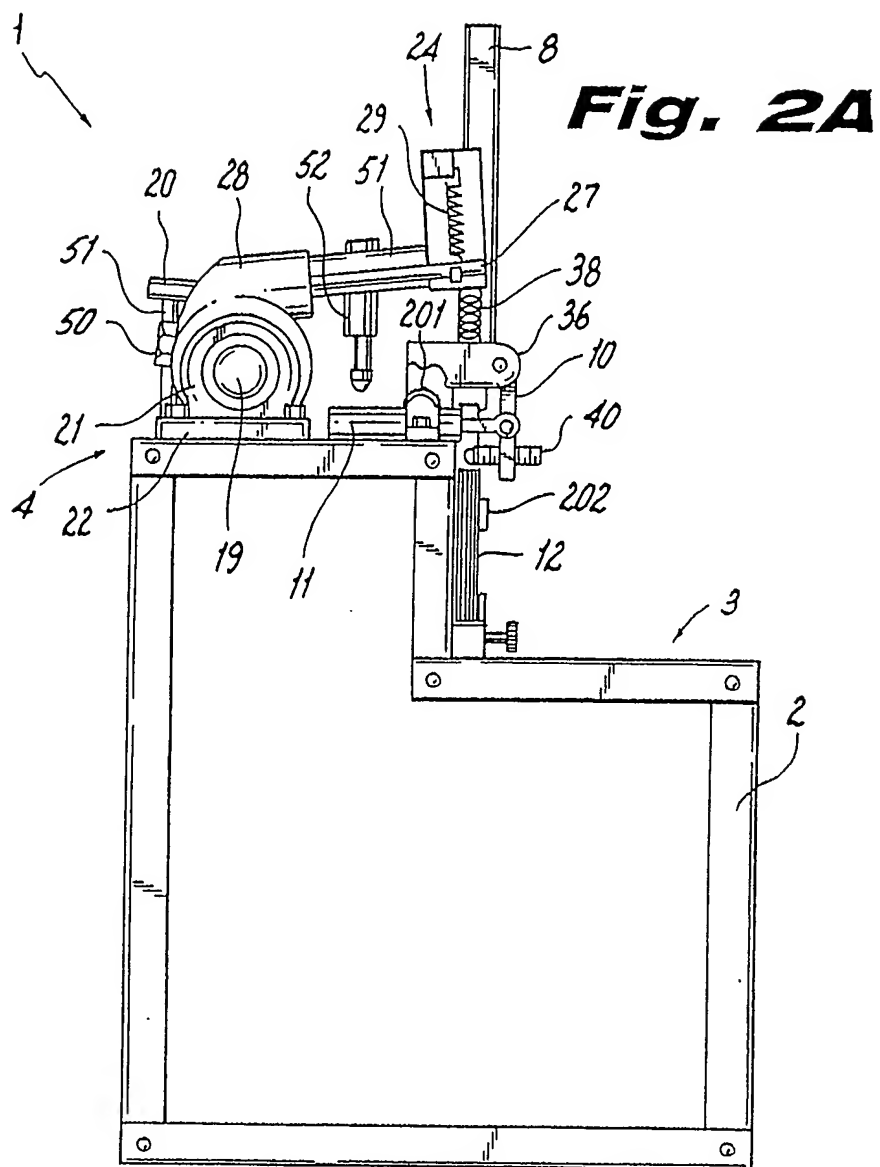




Fig. 2



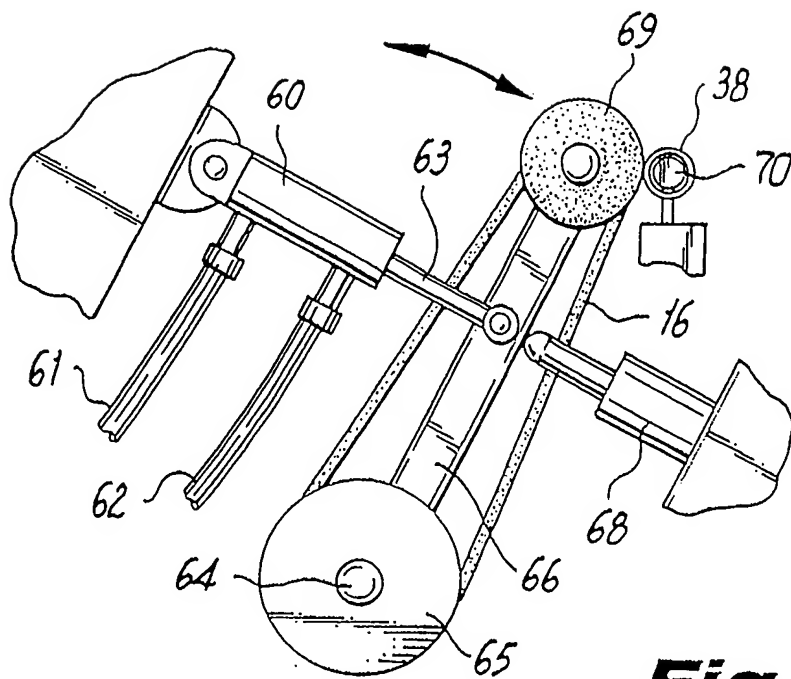


Fig. 3

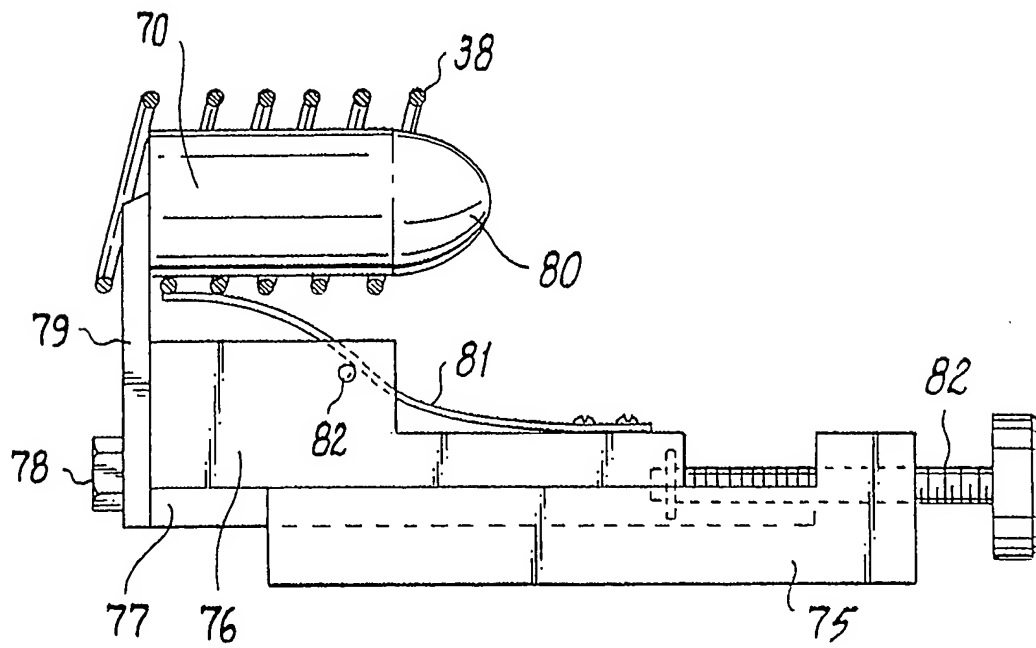


Fig. 4

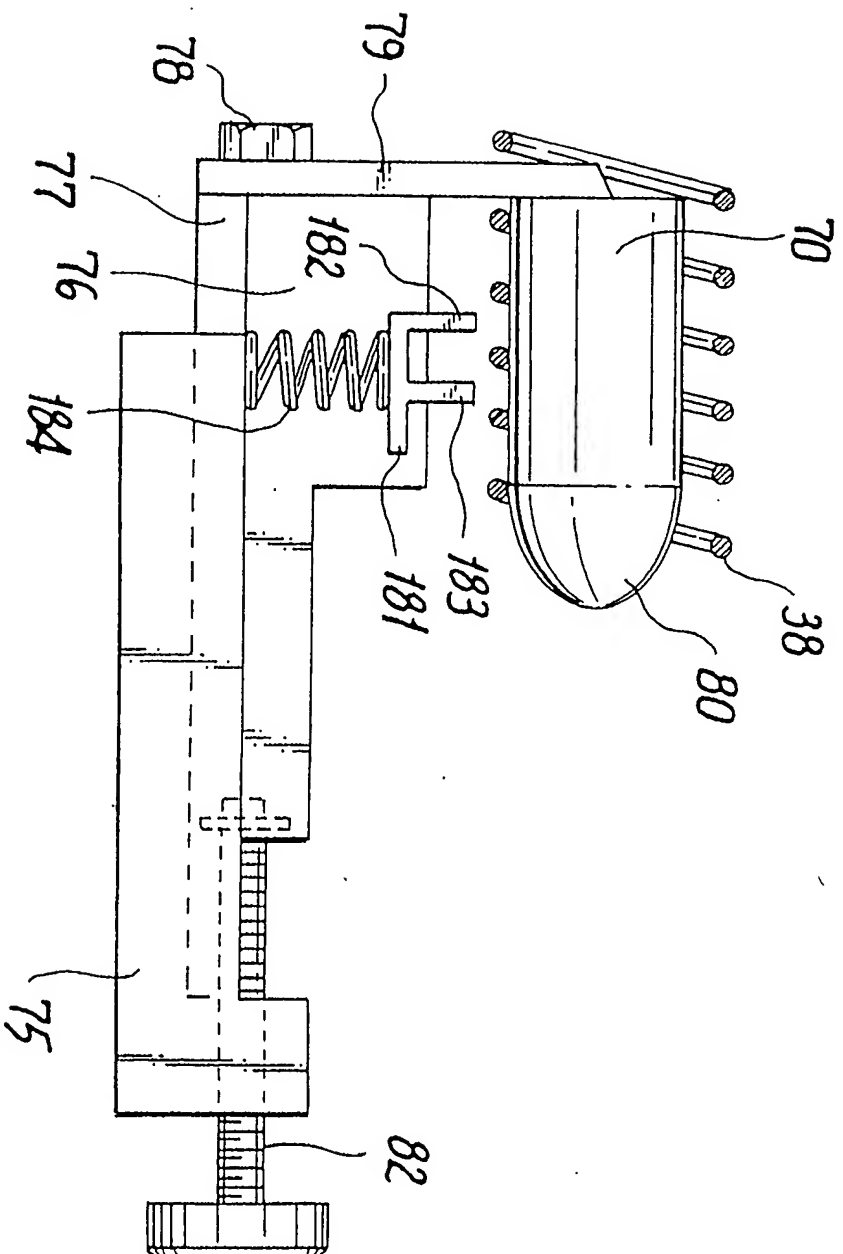


Fig. 4A

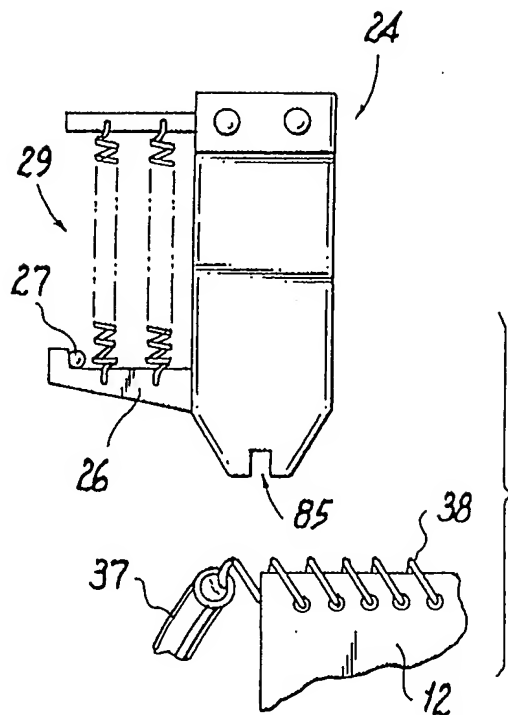


Fig. 5A

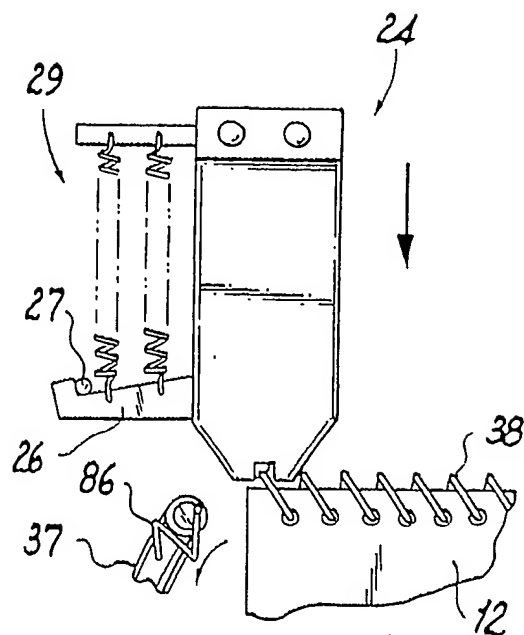


Fig. 5B

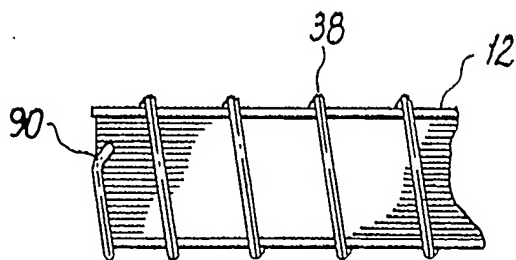


Fig. 6

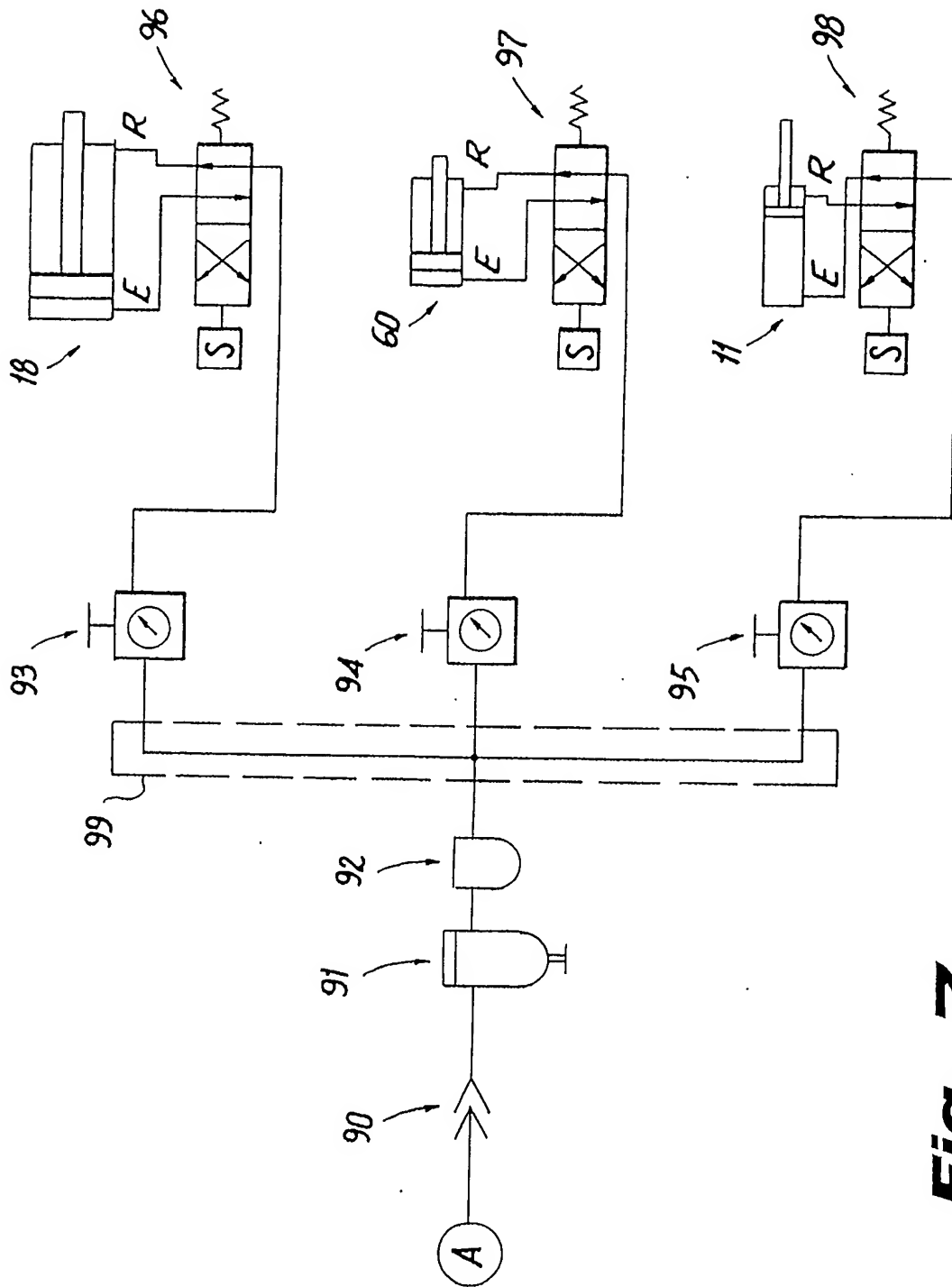


Fig. 7

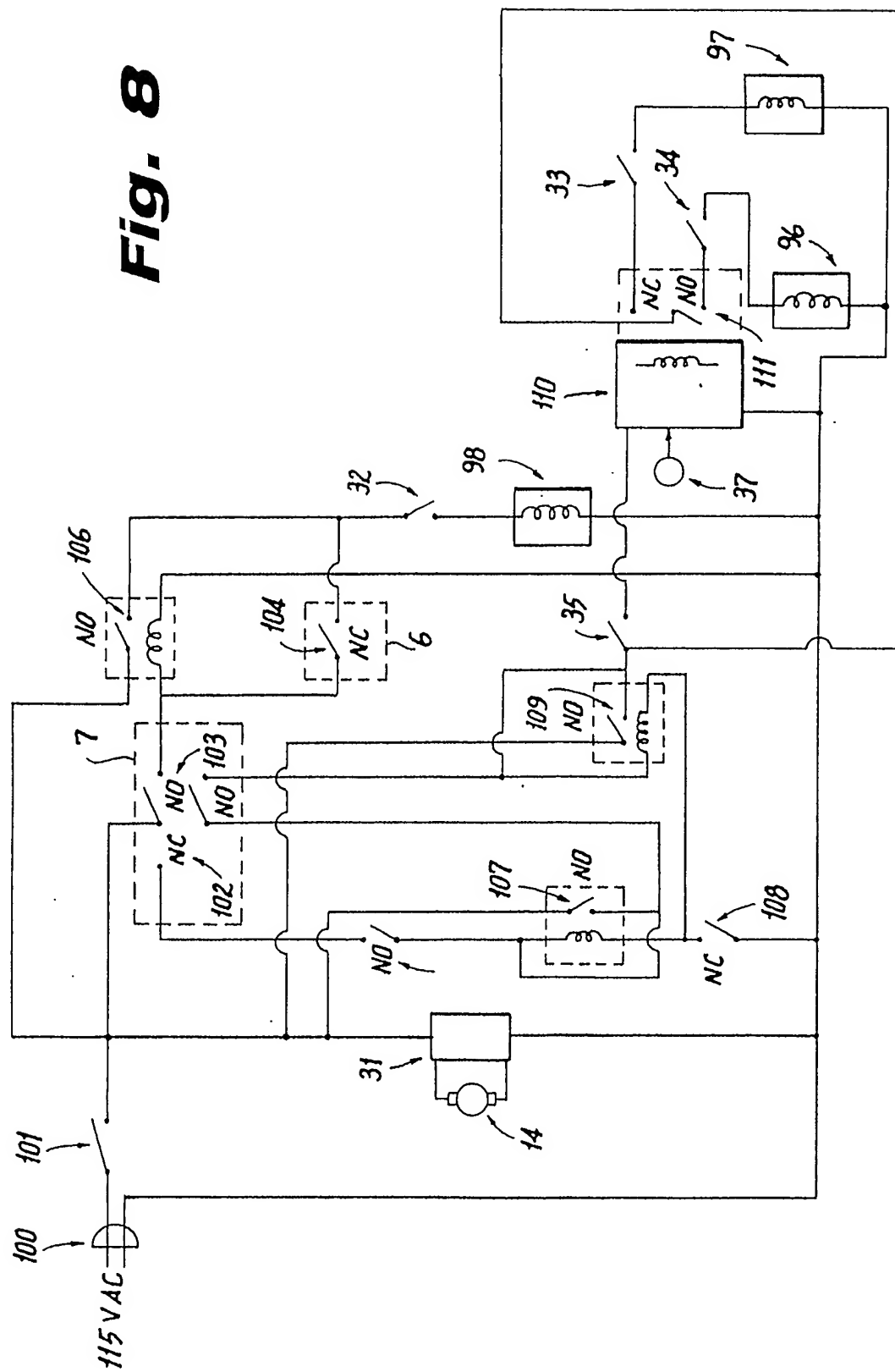


Fig. 8

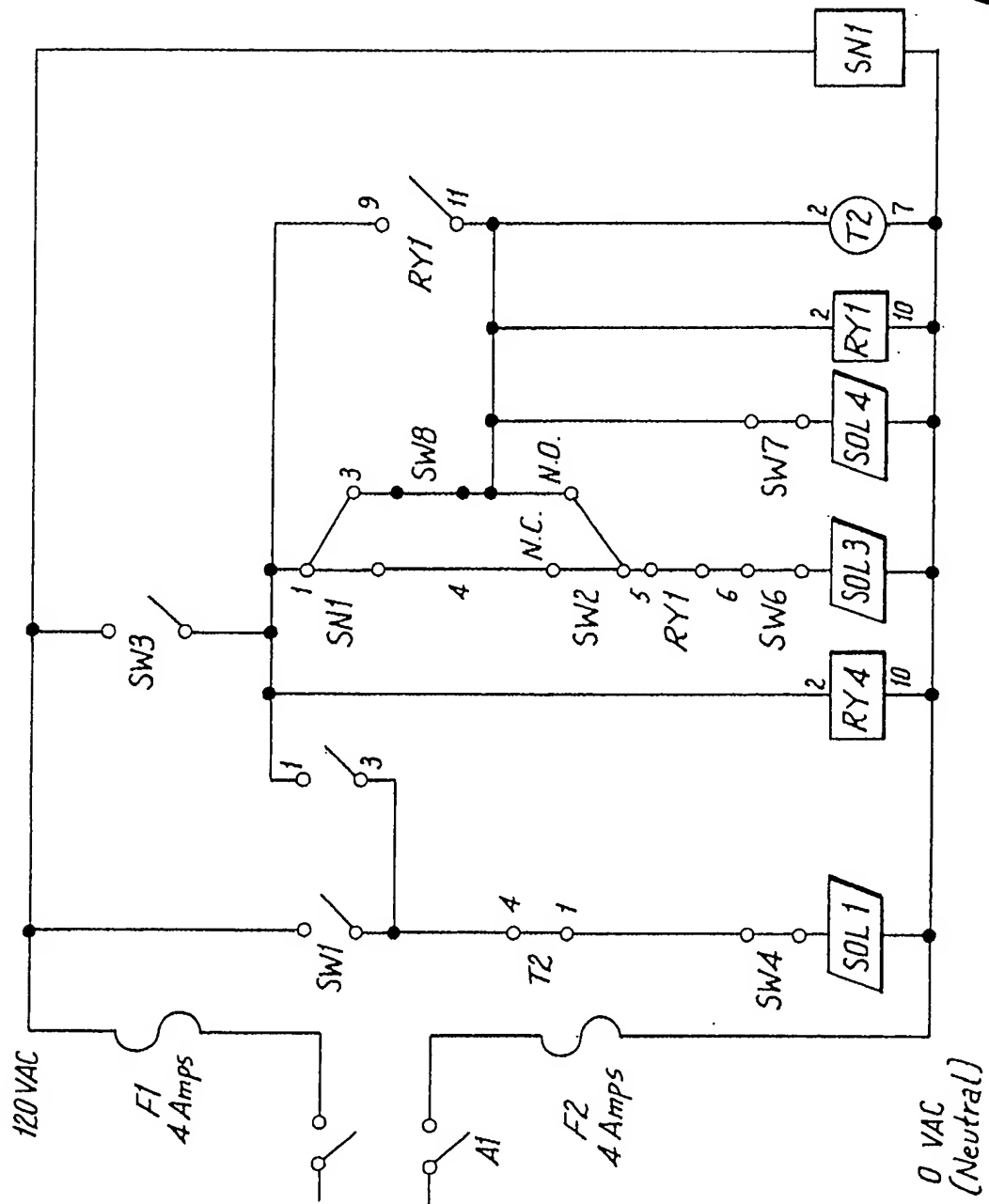


Fig. 9

Fig. 10

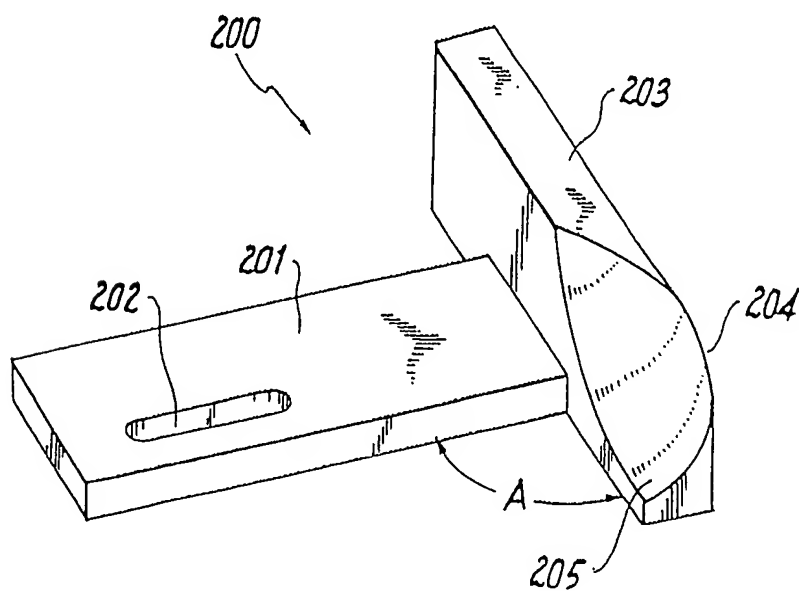
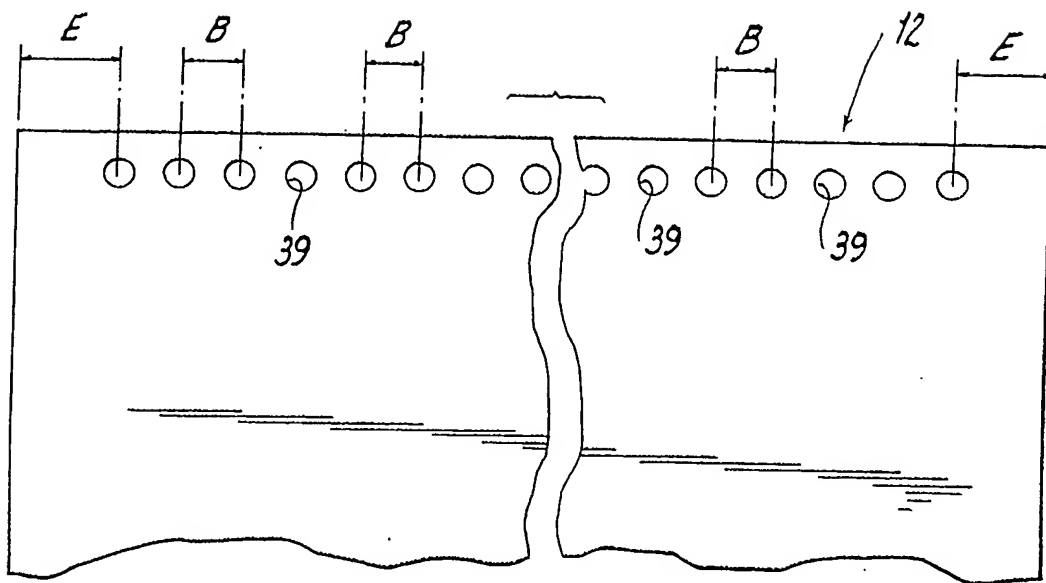


Fig. 11

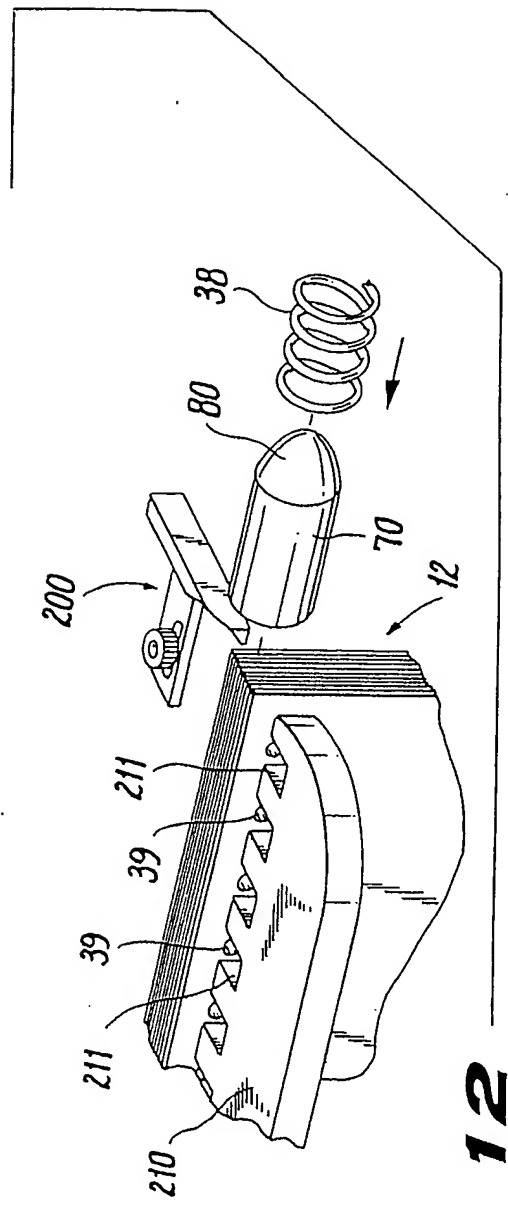


Fig. 12

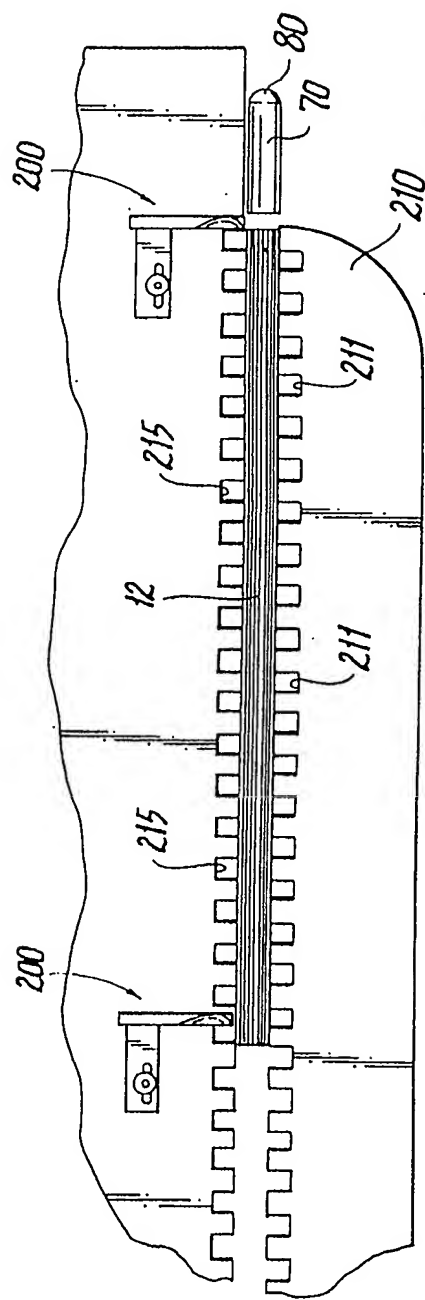


Fig. 13

Fig. 14

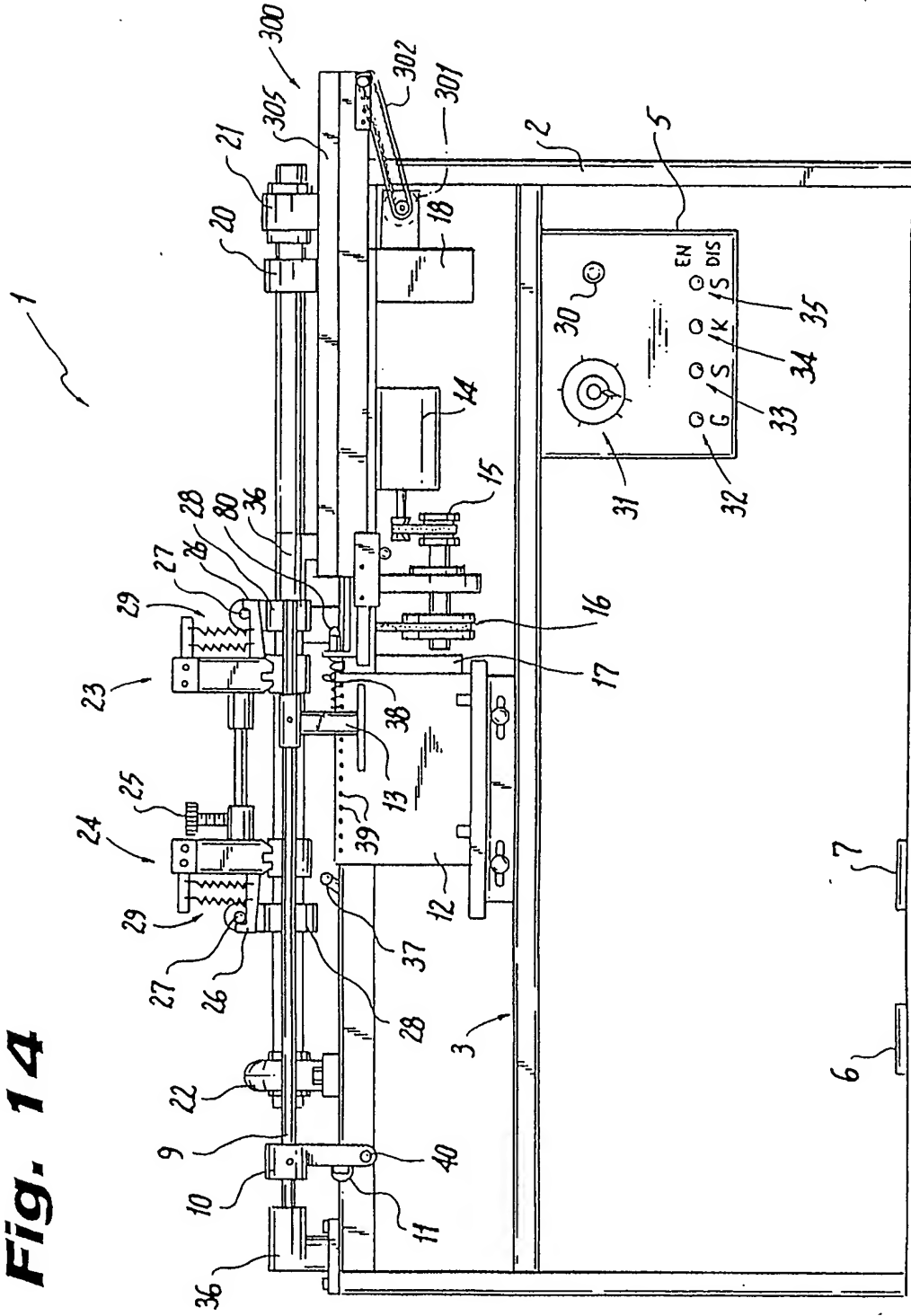


Fig. 15

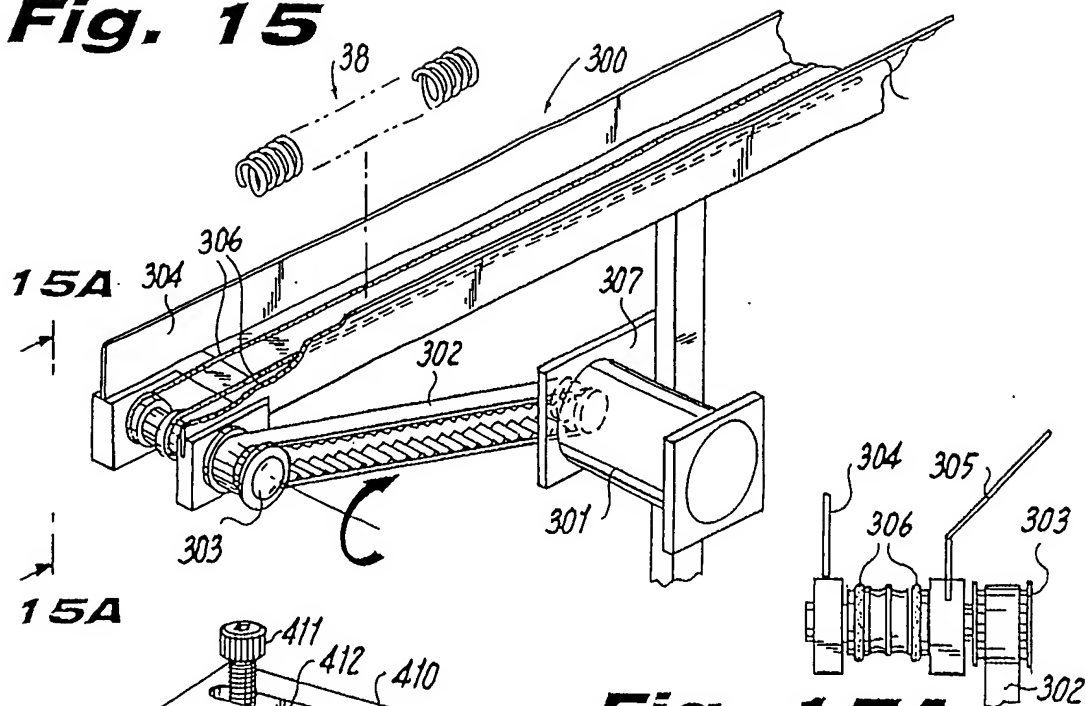


Fig. 15A

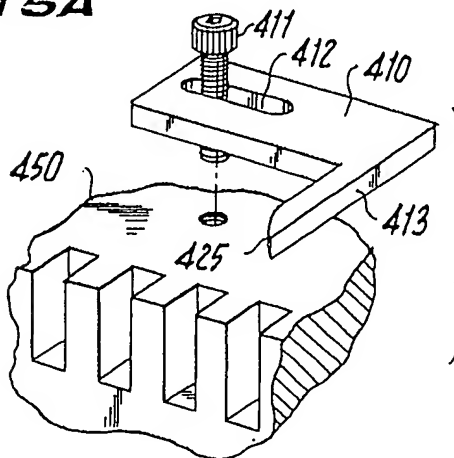


Fig. 16

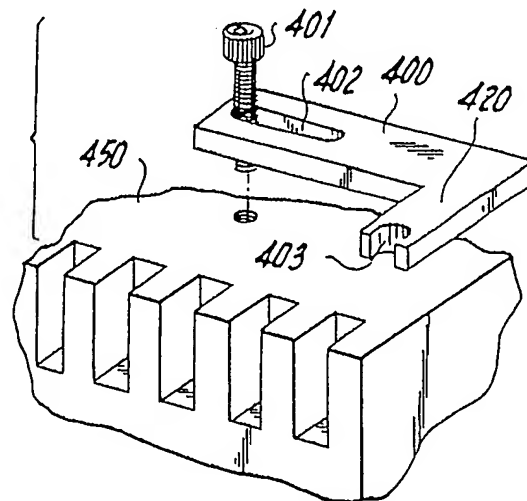


Fig. 17

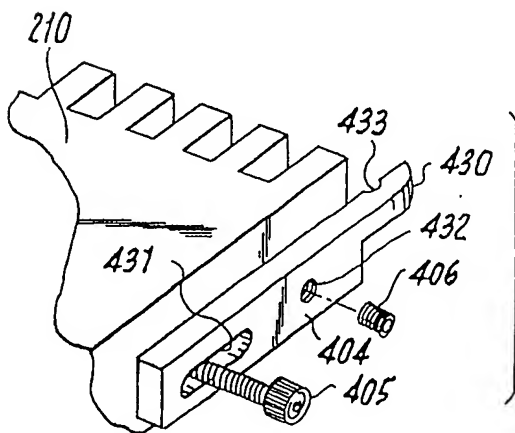


Fig. 18

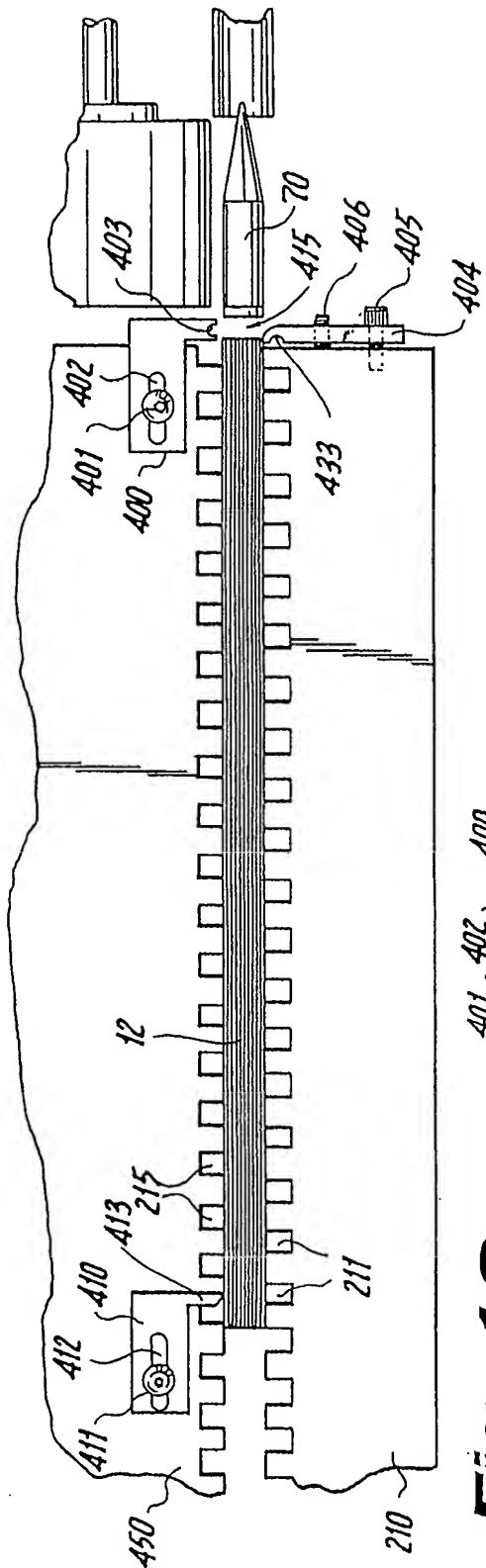


Fig. 19

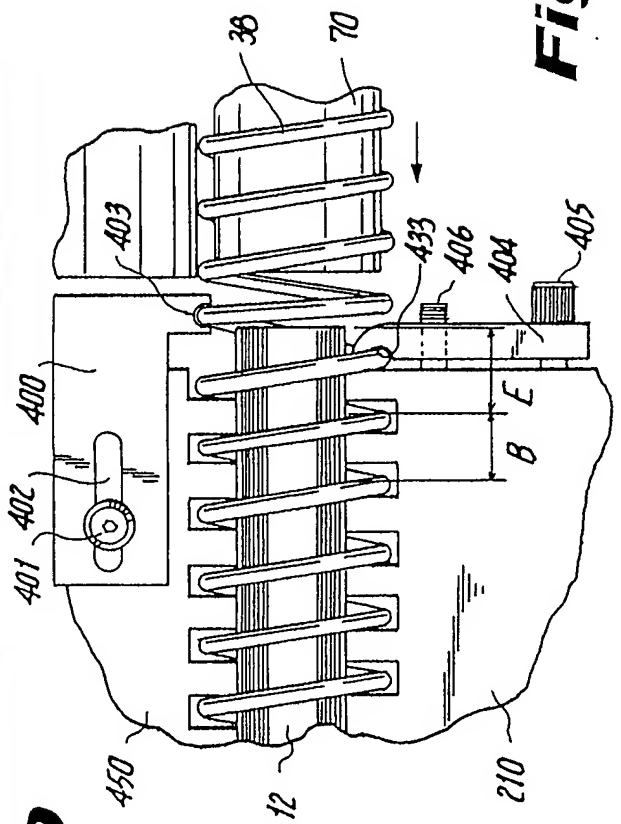


Fig. 20

FIG. 21
(PRIOR ART)

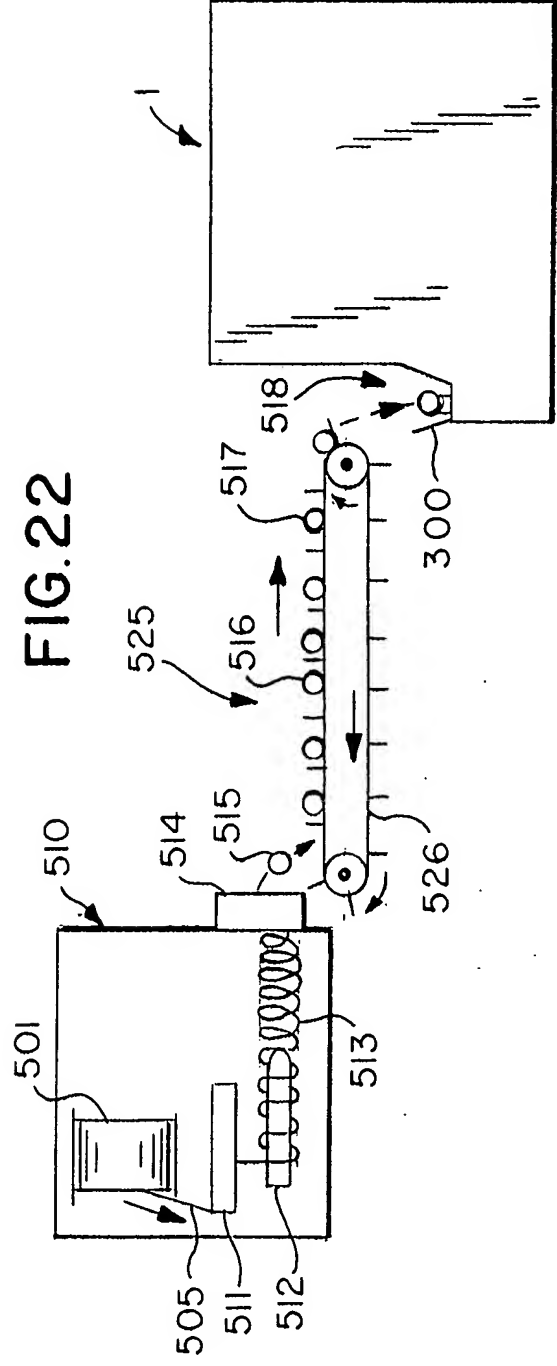
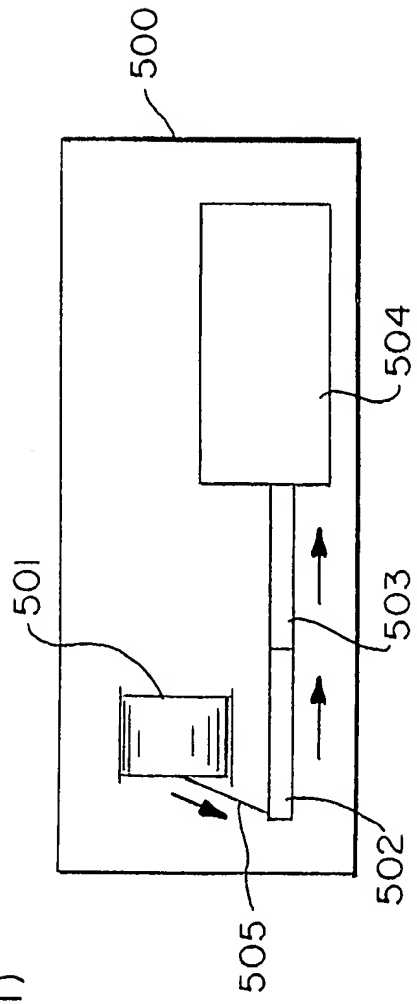


FIG. 24

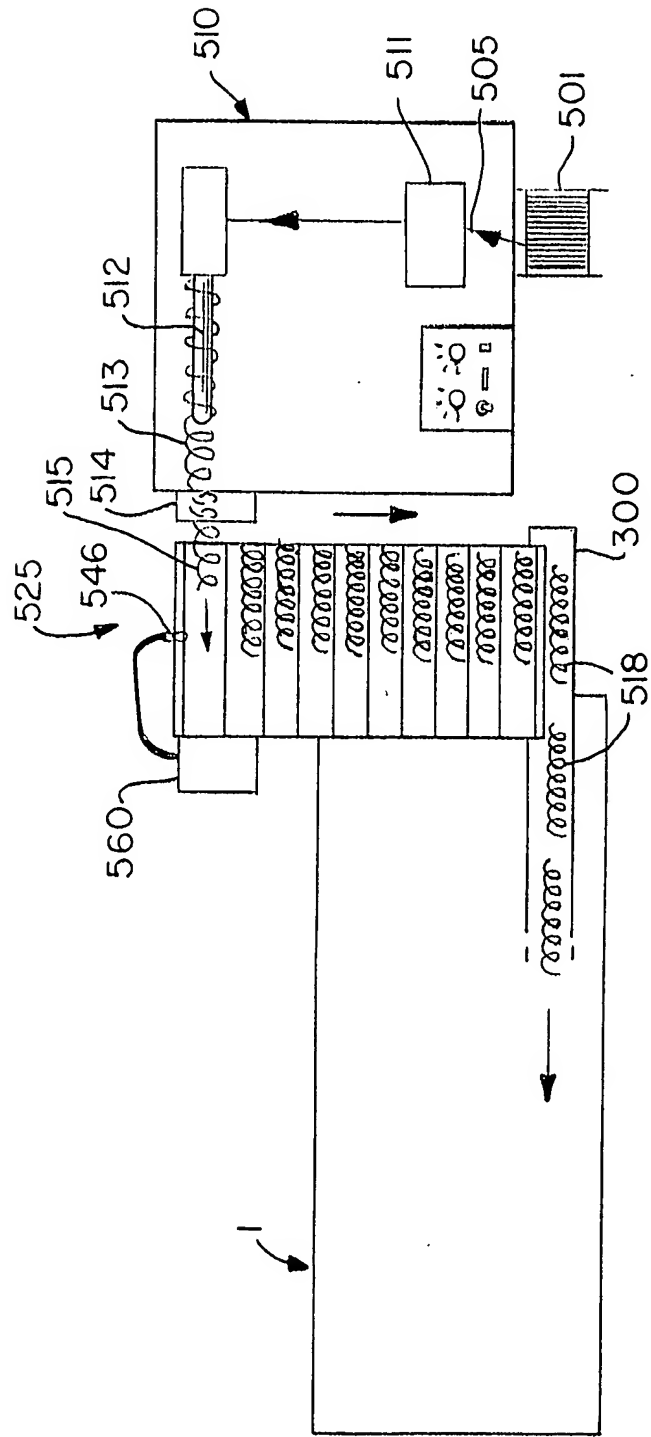


FIG. 25

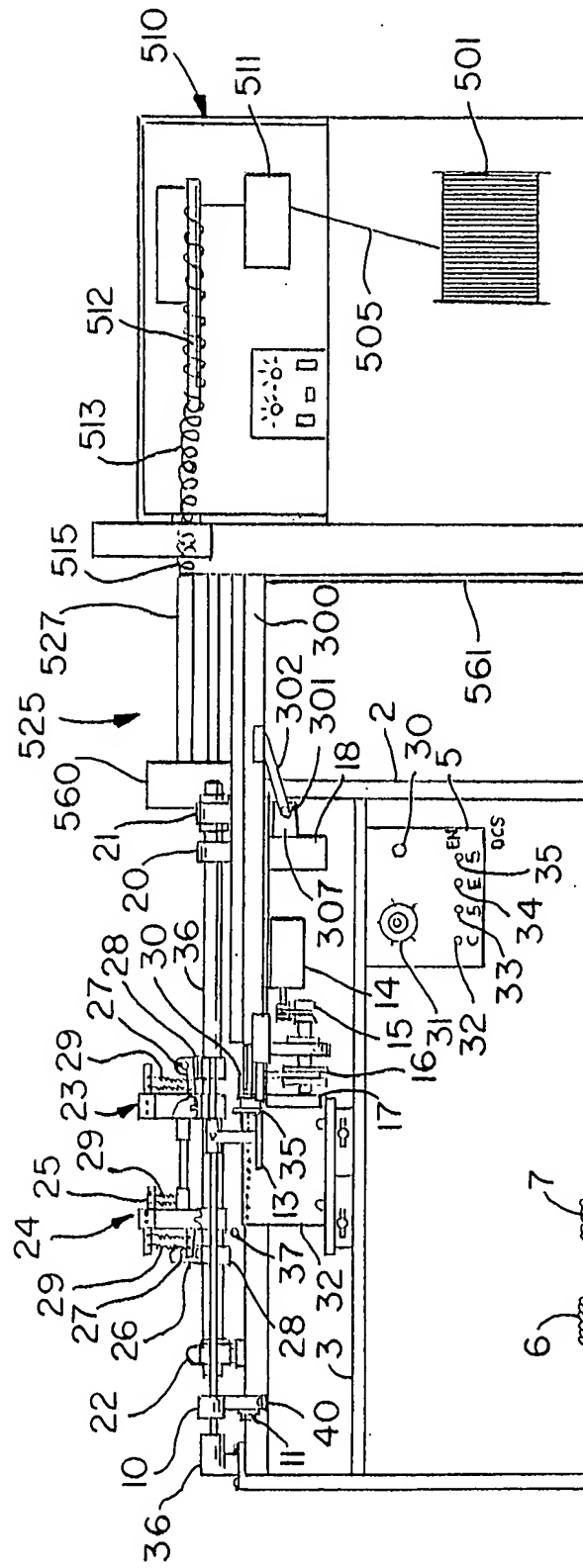


FIG. 26

